

بررسی ارتعاشات آزاد نانوی اولر-برنولی ویسکوالاستیک کسری

محمد فرجی اسکویی^۱، رضا انصاری خلخالی^{۲*}

۱- دانشجوی کارشناسی ارشد، مهندسی مکانیک، دانشگاه گیلان، رشت

۲- دانشیار، مهندسی مکانیک، دانشگاه گیلان، رشت

* رشت، صندوق پستی 3756_r_ansari@guilan.ac.ir

چکیده

ریاضیات با مرتبه کسری شاخه‌ای از ریاضیات است که در دهه‌های اخیر مورد توجه فراوان دانشمندان علوم مختلف از جمله مهندسی قرار گرفته است. از کاربردهای این شاخه در مهندسی می‌توان به مدل سازی مواد ویسکوالاستیک توسط مشتقات با مرتبه کسری اشاره کرد. در این مقاله سعی شده است با وارد کردن ریاضیات کسری تحت عنوان معادله سازگاری مواد ویسکوالاستیک، در تئوری غیرموضعی، یک نانوی اولر-برنولی ویسکوالاستیک با شرایط مزدی مختلف در دو انتهای مدل شود. برای حل معادلات استخراج شده، مشخصات مواد مربوط به یک نانولوله کربنی در نظر گرفته شده است. با دو روش کاملاً عددی و عددی - تحلیلی، پاسخ‌های زمانی مربوط به سیستم بدست آمده است. روش اصلی به کارگرفته شده یک روش کاملاً عددی می‌باشد و در آن از ماتریس‌های اپراتور مشتق‌گیر، برای گستره‌سازی معادلات در حوزه مکان و زمان استفاده شده است. روش دوم برای اعتبارسنجی تیغه بدست آمده از روش قل ارائه شده است، در این روش با استفاده از رهیافت گلرکین معادله مربوط به سیستم به یک معادله دیفرانسیل معمولی در حوزه زمان تبدیل شده است، سپس معادله حاصل با یک روش عددی انتگرال‌گیری مستقیم حل شده است. در انتهای در یک بررسی موردنی، تأثیر پارامترهای مختلف از جمله مرتبه کسری لحاظ شده، ضریب ویسکوالاستیک و ضریب تئوری غیرموضعی بر پاسخ‌های زمانی نیز اولر-برنولی تحت شرایط مزدی مختلف مطالعه شده است.

اطلاعات مقاله

مقاله پژوهشی کامل

دریافت: ۰۹ آذر ۱۳۹۳

پذیرش: ۰۲ اسفند ۱۳۹۳

ارائه در سایت: ۱۵ فروردین ۱۳۹۴

کلید واژگان:

ویسکوالاستیک

ریاضیات کسری

تئوری غیرموضعی

نانوی اولر-برنولی

Free vibration analysis of fractional viscoelastic Euler-Bernoulli nano-beam

Mohammad Faraji Oskouie, Reza Ansari Khalkhali*

Department of Mechanical Engineering, Guilan University, Rasht, Iran.

* P.O.B. 3756 Rasht, Iran, r_ansari@guilan.ac.ir

ARTICLE INFORMATION

Original Research Paper

Received 30 November 2014

Accepted 11 March 2015

Available Online 04 April 2015

Keywords:

Viscoelasticity

Fractional Calculus

Nonlocal Theory

Euler-Bernoulli Nanobeam

ABSTRACT

Fractional calculus is a branch of mathematics which in recent decades has been of great interest to scientists in various disciplines, including engineering. One of the applications of this branch in engineering is in modeling the viscoelastic materials using fractional differentiation. In this article, by inserting fractional calculus as viscoelastic material compatibility equations in nonlocal beam theory, a viscoelastic Euler-Bernoulli nano-beam with different boundary conditions at two ends has been modeled. Material properties of a carbon nanotube are considered and two methods, pure numerical and numerical-analytical have been used for solving obtained equations in time domain. The main method is completely numerical and operator matrices used it to discrete equations in time and spatial domain. The second method is introduced for validation of the previous method's answers. In this method, equation of system is reduced to an ordinary differential equation using Galerkin and the obtained equation is solved using a numerical direct integrator method. Finally, in a case study, the effects of fractional order, viscoelasticity coefficient and nonlocal theory coefficient on the time response of the viscoelastic Euler-Bernoulli nano-beam with different boundary conditions have been studied.

در مواد ویسکوالاستیک کرنش در یک المان در یک زمان خاص تنها به تنش در آن زمان وابسته نیست بلکه به تاریخچه زمانی تنش‌ها وابسته است. همین‌طور تنش در یک المان به تاریخچه زمانی کرنش در آن بستگی دارد؛ به این ویژگی مواد ویسکوالاستیک اثر حافظه^۱ گفته می‌شود [3]. در دهه‌های اخیر شاخه‌ای از ریاضیات به نام ریاضیات کسری^۲ ابزاری قدرتمند برای گسترش تئوری ویسکوالاستیکیه تشخیص داده شده است. بطوری که به جای استفاده از مشتق اول نسبت به زمان از مشتقات کسری با

1- Memory effect

2- Fractional calculus

Please cite this article using:

M. Faraji Oskouie, R. Ansari Khalkhali, Free vibration analysis of fractional viscoelastic Euler-Bernoulli nano-beam, *Modares Mechanical Engineering*, Vol. 15, No. 5, pp. 101-107, 2015 (In Persian)

۱- مقدمه

قطعات و وسایل مختلفی مانند لوله‌ها، تیرها و بازوها در صنایع مختلف وجود دارند که برای تحلیل‌های ارتعاشی، کمانشی و غیره بصورت تیر مدل می‌شوند. مطالعات زیادی در زمینه بررسی ارتعاشات خطی و غیرخطی تیرهای مختلف مانند اولر-برنولی [1] و تیموشنسکو [2] انجام شده است. در برخی موارد، خواص مکانیکی مواد نرم مانند کامپوزیت‌های پلیمری را نمی‌توان با تئوری‌های مربوط به الاستیسیته یا ویسکوزیته توصیف کرد و ماده مورد نظر رفتاری میان این دو را دارد. برای مدل سازی مکانیکی این نوع مواد به تئوری‌های کلی تری مانند ویسکوالاستیسیته نیاز است.

برای ارجاع به این مقاله از عبارت ذیل استفاده نمایید:

M. Faraji Oskouie, R. Ansari Khalkhali, Free vibration analysis of fractional viscoelastic Euler-Bernoulli nano-beam, *Modares Mechanical Engineering*, Vol. 15, No. 5, pp. 101-107, 2015 (In Persian)

شرط مزدی ساده روی دامنه گستته شده سیس معادله حاصل که در حوزه زمان می باشد به وسیله یک روش انتگرال گیری مستقیم، شبیه به رانگ-کوتا، در نرم افزار سیمولینک حل شده است. روش دوم کاملاً عددی است در این روش معادلات حاکم، در حوزه مکان، به وسیله روش تربیع دیفرانسیل تعیین یافته^۵ و در حوزه زمان، به وسیله روش تفاضل محدود^۶ گستته شده و پاسخ های زمانی سیستم برای شرایط مرزی مختلف بدست آمده است.

2- معادلات حاکم بر رفتار سیستم

طبق مدل تیر اوپلر-برنولی، میدان جابجایی در هر نقطه از نانوتیر را می توان به صورت رابطه (1) نوشت:

$$u_x(x, z, t) = U(x, t) - z \frac{\partial W(x, t)}{\partial x} \quad (1\text{-الف})$$

$$u_z(x, z, t) = W(x, t) \quad (1\text{-ب})$$

که در آن $U(x, t)$ و $W(x, t)$ به ترتیب جابجایی طولی و عرضی صفحه میانی تیر در زمان t می باشند؛ همچنین روابط کرنش- جابجایی به صورت رابطه (2) مطرح می شوند:

$$\varepsilon_{xx} = \frac{\partial u_x}{\partial x} = \frac{\partial U}{\partial x} - z \frac{\partial^2 W}{\partial x^2} \quad (2)$$

با استفاده از روابط تنش- کرنش کلوین- ویت مربوط به مواد ویسکوالاستیک کسری رابطه تنش- جابجایی به صورت زیر قابل نوشتند می باشد

$$\sigma = E \left(1 + \bar{g} \frac{\partial^\alpha}{\partial t^\alpha} \right) \left(\frac{\partial U}{\partial x} - z \frac{\partial^2 W}{\partial x^2} \right), \quad 0 < \alpha < 1 \quad (3)$$

که مدول الاستیسیته و \bar{g} ضریب ویسکوالاستیسیته می باشند و مشتق کسری به صورت رابطه (4) تعریف می شود [14]:

$$D_t^\alpha(w) = |^{1-\alpha}(\dot{w}) = \frac{1}{\Gamma(1-\alpha)} \int_0^t \frac{w'(t-\tau)}{\tau^\alpha} d\tau + \frac{w(0)}{\Gamma(1-\alpha)t^\alpha}, \quad 0 < \alpha < 1 \quad (4)$$

در رابطه (4) منظور از D_t^α مشتق مرتبه α نسبت به t و $|^{1-\alpha}$ انتگرال با مرتبه $\alpha-1$ است. قسمت دوم سمت راست رابطه هم مربوط به شرط اولیه است که برای انتگرال گیری با مرتبه کسری به این صورت اعمال می شود.

حال با استفاده از روش همیلتون معادلات حرکت نانوتیر به شکل رابطه (5) استخراج می شوند:

$$\frac{\partial N_{xx}^{nl}}{\partial x} = I_1 \frac{\partial^2 U}{\partial t^2} \quad (5\text{-الف})$$

$$\frac{\partial^2 M_{xx}^{nl}}{\partial x^2} = I_1 \frac{\partial^2 W}{\partial t^2} \quad (5\text{-ب})$$

که N_{xx}^{nl} و M_{xx}^{nl} نیروی افقی و گشتاور خمی غیرموضعی حاصل از آن می باشند و از رابطه های (6) محاسبه می شوند:

$$N_{xx}^{nl} = A_1 \left(1 + \bar{g} \frac{\partial^\alpha}{\partial t^\alpha} \right) \frac{\partial U}{\partial x} \quad (6\text{-الف})$$

$$M_{xx}^{nl} = (e_0 a)^2 I_1 \frac{\partial^2 W}{\partial t^2} - EI \left(1 + \bar{g} \frac{\partial^\alpha}{\partial t^\alpha} \right) \frac{\partial^2 W}{\partial x^2} \quad (6\text{-ب})$$

که $e_0 a$ پارامتر غیرموضعی است و پارامترهای دیگر به صورت رابطه (7) تعریف شده اند:

$$A_1 = EA, I_1 = \rho A \quad (7)$$

که A سطح مقطع تیر و ρ چگالی آن است.

به دلیل اینکه مقدار اینرسی طولی سیستم در مقایسه با اینرسی عرضی آن ناچیز می باشد و همانگونه که در مراجع [15,16] بدان اشاره شده، تأثیر قابل ملاحظه ای در پاسخ ها ندارد، می توان از اثرات آن صرف نظر کرد. در نتیجه از معادله (5- الف)، رابطه (8) بدست می آید:

$$N_{xx}^{nl} = N_0 \quad \text{ثابت} = (8)$$

5- Generalized Differential Quadrature (GDO)
6- Finite Difference

مرتبه بین صفر و یک استفاده می شود که به مدل کلوین- ویت [4] مشهور است و این مسئله باعث بازتر شدن دست طراحان در طراحی قطعات شده است. از این شاخه ریاضیات در مدل سازی خواص مکانیکی مواد مانند صخره ها، خاک ها و ترکیب های آسفالتی استفاده می شود [5]. دیگر کاربرد گسترده روابط ساختاری مربوط به ویسکوالاستیک کسری در مدل سازی مواد پلیمری است. نتایج آزمایشگاهی نشان داده است که مدل کردن این مواد با مشتقات کسری دقت بیشتری نسبت به مدل سازی با مشتق اول یا تئوری مواد الاستیک دارد [6,7].

یکی از مطالعاتی که در زمینه ارتعاشات سیستم های مکانیکی با مرتبه کسری انجام شده مربوط به لی-کیون چن [8] است که آنها رسمنان^۱ متحرک ویسکوالاستیک کسری را مدل کرده و با استفاده از روش گلرکین ارتعاشات آزاد آن را در حوزه زمان بررسی کرده اند.

در ادامه مبحث مربوط به اجزا متحرک، در تحقیقی ارتعاشات تیر اوپلر ویسکوالاستیک کسری [9] در حوزه زمان تحلیل شده است که در آن تنها شرط مزدی ساده برای تیر در نظر گرفته شده و همانند مرجع [8] از روش نیمه تحلیلی گلرکین برای گسته سازی در حوزه مکان استفاده شده است.

در مطالعه ای دیگر ارتعاشات آزاد تیر تیموشنکوی الاستیک روی بستر ویسکوالاستیک که با مشتقات کسری مدل شده [10] بررسی شده است و درباره تأثیرات توان کسری مشتق و ضریب مدول برشی بحث شده است.

در ادامه پژوهش ها در این زمینه می توان به مدل سازی و تحلیل رفتار دینامیکی بازو های رباتیکی ویسکوالاستیک با استفاده از تئوری تیموشنکو [11] اشاره کرد. پژوهش گران در این مقاله با استفاده از فرمولاسیون گیبس- اپل و روش های مدهای فرضی مدل دینامیکی سیستم را استخراج کرده اند. آنها همچنین دو مکانیزم میرایی، یعنی میرایی کلوین- ویت به عنوان میرایی داخلی و اثر ویسکوز ها به عنوان عامل مستهلك کننده خارجی را در معادلات لحاظ کرده اند و برای بررسی درستی مدل خود، نتایج بدست آمده را با نتایج بدست آمده از آزمایش های عملی مقایسه کرده اند.

در ادامه محققان بسیاری با تلفیق تئوری ویسکوالاستیسیته با تئوری های مربوط به اندازه نانو و میکرو، ارتعاشات نانوتیرهای کربنی را هم بررسی کرده اند. در مرجع [12] ارتعاشات و پایداری نانولوله های کربنی که در آنها سیال جریان دارد، بررسی شده است و سرعت های بحرانی در شرایط مختلف به دست آمده است. در مقاله ای دیگر [13] نانوتیر تیموشنکو ویسکوالاستیک با تئوری غیرموضعی² مدل شده و تأثیر پارامترهای مختلف از جمله ضریب ویسکوالاستیسیته روی فرکانس های اول تا چهارم سیستم مورد بررسی قرار گرفته است.

همان طور که ملاحظه می شود در این پژوهش ها، ارتعاشات نانوتیرهای ویسکوالاستیک کسری تحت شرایط مزدی مختلف بررسی نشده است و لزوم انجام پژوهش های در زمینه تیرهای ویسکوالاستیک کسری تحت شرایط مزدی گوناگون و با استفاده از روش های عددی قوی مخصوصاً در اندازه نانو مشهود است. به این منظور در پژوهش حاضر معادلات ارتعاشات آزاد مربوط به تیر اوپلر- برنولی ویسکوالاستیک با استفاده از معادلات سازگاری با مرتبه کسری کلوین- ویت و به کارگیری اصل همیلتون³ استخراج شده، سیس با دو روش متفاوت حل شده که مقایسه پاسخ های بدست آمده از دو روش نشان دهنده درستی آنها خواهد بود. در روش اول بوسیله گلرکین⁴، معادلات حاکم بر تیر با

1- String

2- Nonlocal

3- Hamilton's principle

4- Galerkin

مختلف را در سیستم اعمال کرد؛ همچنین محدودیتی که روش گلرکین در انتخاب تعداد توابع مودال دارد در این روش مشاهده نمی‌شود.

در این روش از ماتریس‌های اپراتور برای گسته‌سازی معادلات حاکم بر سیستم استفاده می‌شود؛ به طوری که از روش تربیع دیفرانسیل تعیین یافته برای ساخت ماتریس‌های اپراتور مشتق‌گیر در حوزه مکان و از روش تفاضل محدود برای ساخت ماتریس‌های اپراتور مشتق‌گیر در حوزه زمان استفاده شده است.

3-1-2-3- روش تربیع دیفرانسیلی تعیین یافته
بر اساس روش تربیع دیفرانسیل تعیین یافته [19]، مشتق r تابعی مانند $f(x)$ را می‌توان بر حسب مقادیر تابع در نقاط دامنه آن با رابطه (17) محاسبه کرد:

$$\frac{\partial^r f(x)}{\partial x^r} \Big|_{x=x_i} = \sum_{j=1}^n D_{ij}^r f(x_j) \quad (17)$$

که در آن n تعداد کل نقاط استفاده شده در طول دامنه است. رابطه (17) را می‌توان به شکل برداری (18) نیز بیان کرد:

$$\frac{\partial^r}{\partial x^r} F = D^{(r)} F \quad (18)$$

در سمت راست این رابطه F برداری شامل مقادیر تابع در نقاط مختلف دامنه بوده و $D^{(r)}$ ماتریس اپراتور مشتق‌گیر مرتبه r است و به ترتیب طبق روابط (19) و (20) تعریف می‌شوند:

$$F = [F_1 \ F_2 \ \dots \ F_n]^T = [F(x_1) \ F(x_2) \ \dots \ F(x_n)]^T \quad (19)$$

$$D_{ij}^{(1)} = \frac{\prod_{k=1, k \neq i}^n (x_i - x_k)}{(x_i - x_j) \prod_{k=1, k \neq j}^n (x_j - x_k)}, \quad i = 1, 2, \dots, n, i \neq j \quad (20-\text{الف})$$

$$D_{ij}^{(r)} = r \left(D_{ii}^{(r-1)} D_{ij}^{(1)} - \frac{D_{ij}^{(r-1)}}{(x_i - x_j)} \right), \quad i = 1, 2, \dots, n, i \neq j \quad r = 2, 3, \dots, n-1; \quad (20-\text{ب})$$

3-2-2-3- روش تفاضل محدود

این روش نیز مانند روش تربیع دیفرانسیلی تعیین یافته مشتقات توابع را بر حسب مقادیر تابع در نقاط مختلف دامنه تقریب می‌زند با این تفاوت که منطق آن بر پایه بسط تیلور توابع استوار بوده و نقاط روی دامنه با نظم متفاوتی پراکنده شده‌اند. مشتقات با مرتبه کسری یک تابع در یک نقطه خاص را هم می‌توان به صورت رابطه (21) بر حسب مقادیر تابع در نقاط قبل از آن تقریب زد [20, 21]:

$$\begin{aligned} & \frac{1}{\Gamma(1-\alpha)} \int_0^{t_{k+1}} \frac{w'(\tau_{k+1}-\tau)}{\tau^\alpha} d\tau \\ &= \frac{\tau^\alpha}{\Gamma(2-\alpha)} \sum_{j=0}^k b_j^\alpha [w(t_{k+1-j}) - w(t_{k-j})], \quad b_j^\alpha \\ &= (j+1)^{1-\alpha} - j^{1-\alpha}, \quad j = 0, 1, 2, \dots, n \end{aligned} \quad (21)$$

3-2-3- گسته‌سازی دامنه مکان و زمان

برای گسته‌سازی دامنه روی مکان، نقاط بر اساس رابطه چبیشف- گاووس- لباتو¹ (22) و همچنین نقاط روی دامنه زمانی، با فاصله یکسان به صورت رابطه (23) در نظر گرفته می‌شوند:

$$\zeta_i = \frac{1}{2} \left(1 - \cos \frac{i-1}{n-1} \pi \right), \quad i = 1, 2, 3, \dots, n \quad (22)$$

$$\tau_i = j \frac{T}{m+1}, \quad j = 0, 1, 2, \dots, m \quad (23)$$

بنابراین با معرفی ماتریس W مطابق رابطه (24) و بکارگیری روش‌های تربیع دیفرانسیلی و تفاضل محدود معادلات مربوط به سیستم و معادلات مربوط به

برای نانوتیرهای غیرمتحرک در دوسر ($L=0$ و W) و با توجه به معادله (8) و انتگرال گیری از معادله (6-الف) نسبت به x رابطه (9) بدست می‌آید:

$$\begin{aligned} \int_0^L N_{xx}^{nl} &= \int_0^L A_1 \left(1 + \bar{g} \frac{\partial^\alpha}{\partial t^\alpha} \right) \frac{\partial U}{\partial x} \\ &= A_1 \left(1 + \bar{g} \frac{\partial^\alpha}{\partial t^\alpha} \right) (U(L) - U(0)) = 0 = N_0 \end{aligned} \quad (9)$$

که L طول تیر است در آخر با جاگذاری معادلات (8) و (5-ب) در (4-ب) معادله غیرموضعی حاکم بر تیر اویلر- برنولی ویسکوالاستیک کسری به صورت رابطه (10) بدست می‌آید:

$$-EI \left(1 + \bar{g} \frac{\partial^\alpha}{\partial t^\alpha} \right) \frac{\partial^4 W}{\partial x^4} = I_1 (1 - (e_0 a)^2) \frac{\partial^2}{\partial x^2} \frac{\partial^2 W}{\partial t^2} \quad (10)$$

و شرایط مرزی به صورت رابطه (11) تعریف می‌شوند:

- برای تکیه‌گاه گیردار:

$$W = 0, \frac{\partial W}{\partial x} = 0 \quad (11)$$

- برای تکیه‌گاه ساده:

$$W = 0, \frac{\partial^2 W}{\partial x} = 0 \quad (12)$$

با معرفی پارامترهای بی بعد به صورت رابطه (13):

$$w = \frac{W}{L}, \zeta = \frac{x}{L}, O = L^2 \sqrt{\frac{\rho A}{EI}}, \mu = \frac{(e_0 a)}{L}, \{\tau, g\} = \{t, \bar{g}\}/O \quad (13)$$

معادله (10) به شکل بی بعد (14) در می‌آید:

$$- \left(1 + g \frac{\partial^\alpha}{\partial \tau^\alpha} \right) \frac{\partial^4 w}{\partial \zeta^4} = (1 - \mu^2) \frac{\partial^2}{\partial \zeta^2} \frac{\partial^2 w}{\partial \tau^2} \quad (14)$$

شرایط مرزی هم به همین صورت بی بعد می‌شوند.

3- روند حل

برای حل معادلات حاکم بر سیستم از دو روش استفاده خواهد شد.

1-3- روش اول

در این روش معادله تیر با تکیه‌گاه ساده در دو طرف با روش گلرکین گسته می‌شود (رابطه 15):

$$w(\zeta, \tau) = \sum_{n=1}^{\infty} \varphi_n(\tau) \sin(n\pi\zeta) \quad (15)$$

که $\varphi_n(\tau)$ ضرایب وابسته به زمان مجھول و $\sin(n\pi\zeta)$ تابع مود مربوط به ارتعاشات تیر با تکیه‌گاه‌های ساده در دو طرف می‌باشد.

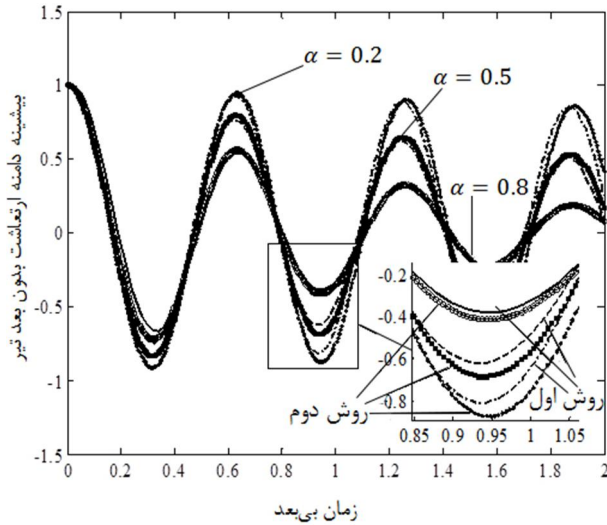
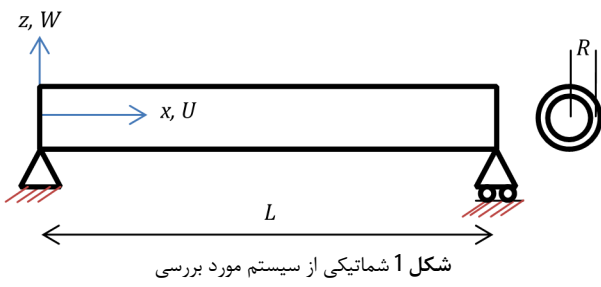
تابع مجھول $\varphi_n(\tau)$ با برابر صفر قرار دادن ضرب تابع وزنی و باقی مانده معادله و انتگرال گیری روی دامنه بدست می‌آید، در روش گلرکین تابع وزنی همان تابع مود می‌باشدند. با توجه به اینکه معادله مربوط به سیستم خطی است، انتخاب یک تابع مود برای روش گلرکین کافی می‌باشد و استفاده از توابع بیشتر تأثیر آنچنانی در پاسخ ندارد، در نتیجه با انتخاب تابع مود اول ($n=1$) وارد کردن رابطه (15) در معادلات سیستم و انتگرال گیری از صفر تا یک رابطه (16) بدست می‌آید:

$$-(\varphi + g\varphi^{(\alpha)}) = (1 + \pi^2 \mu^2) \dot{\varphi} \quad (16)$$

حال معادله کلی سیستم بصورت تابعی از زمان در آمد و می‌توان با دو شرط مکان اولیه و سرعت اولیه آن را حل کرد. به این منظور این معادله را در جعبه ابزار سیمولینک نرم‌افزار متلب وارد کرده و با روش تخمین یک تابع تبدیل با چند صفر و قطب برای انتگرال گیری با مرتبه کسری [17, 18] حل می‌شود. لازم به ذکر است در طول این پژوهش سرعت اولیه، صفر و مکان اولیه، تغیر شکل استاتیکی تیر در نظر گرفته شده است.

2- روش دوم

این روش کاملاً عددی است و با استفاده از آن به راحتی می‌توان شرایط مرزی



شکل ۲ مقایسه پاسخ‌های روش اول و دوم، تکیه‌گاه ساده در دو طرف

با توجه به اینکه فرکانس سیستم و سرعت کاهش دامنه آن با شرایط مرزی گیردار- گیردار بیشتر از گیردار- ساده و همجنین گیردار- ساده بیشتر از ساده- ساده می‌باشد، این خاصیت در نتایج بدست آمده در این پژوهش نیز به‌وضوح مشاهده می‌شود. برای مقایسه بهتر نتایج بدست آمده تحت شرایط مرزی مختلف، دامنه ارتعاشات نانوتیر مورد نظر تا زمان بی بعد ۲ رسم شده‌اند. همان‌طور که در شکل ۳ مشاهده می‌شود دامنه ارتعاشات نانوتیر با شرایط مرزی گیردار- گیردار، گیردار- ساده و ساده- ساده طی این مدت به ۰/۶ و ۰/۴ و ۰/۲ دامنه اولیه رسیده است.

پارامتر دیگری که مطمئناً در طراحی این نوع سیستم‌ها تأثیر چشمگیری دارد و نقش بسزایی بازی می‌کند، ضریب ویسکوالاستیستیته است؛ به‌طوری که با صفر قرار دادن آن مدل ارائه شده به مدل یک نانوتیر الاستیک تبدیل می‌شود و همان‌طور که در شکل ۴ مشاهده می‌شود هیچ میرایی در سیستم وجود نمی‌آید و تیر با یک دامنه ثابت ارتعاش می‌کند. با افزایش ضریب ویسکوالاستیستیته، در عین حال که تیر میرایی پیدا می‌کند، دوره ارتعاشات آن نیز کاهش می‌یابد و در واقع فرکانس سیستم افزایش می‌یابد.

برای نتایج این شکل، پارامتر غیرموضعی ۰/۰۵ و توان کسری ۰/۵ در نظر گرفته شده است.

در پایان تأثیرات توان کسری مربوط به تئوری ویسکوالاستیستیته کسری مطالعه خواهد شد. در شکل ۵ مشاهده می‌شود که با افزایش توان کسری از صفر تا یک میرا شوندگی سیستم نیز افزایش می‌یابد و در هر دوره زمانی مقدار بیشتری از دامنه سیستم کاهش می‌یابد و این باعث می‌شود طراحان انتخاب‌های بیشتری در طراحی سیستم موردنظرشان داشته باشند. از شکل ۵ این را هم می‌توان دریافت که توان کسری تأثیر چندانی بر فرکانس سیستم نمی‌گذارد. نتایج مربوط به این شکل هم با در نظر گرفتن پارامتر غیرموضعی ۰/۱ و ضریب ویسکوالاستیستیته ۰/۰۲ بدست آمده‌اند.

شرایط مرزی به صورت روابط (26-24) در می‌آیند:

$$W = \begin{bmatrix} w_{10} & w_{12} & \dots & w_{1m} \\ w_{20} & \ddots & \ddots & w_{2m} \\ \vdots & \ddots & \ddots & \vdots \\ w_{n0} & w_{n2} & \dots & w_{nm} \end{bmatrix} \quad (24)$$

$$-\left((D_\zeta^{(4)} W I_\tau) + g(D_\zeta^{(4)} W D_\tau^{(\alpha)}) \right) - g\left(\frac{1}{\Gamma(1-\alpha) \tau^\alpha} \right) \otimes (D_\zeta^{(4)} W_0)^T = (I_\zeta - \mu^2 D_\zeta^{(2)}) W D_\tau^{(2)} \quad (25)$$

قسمت دوم سمت چپ رابطه (25) مربوط به اعمال شرط اولیه است که در رابطه (4) درباره آن صحبت شد و W_0 شرط اولیه اعمال شده به سیستم می‌باشد. ضرب تانسوری \otimes در پیوست تعريف شده است.

برای تکیه‌گاه گیردار،

$$I_\zeta W I_\tau = 0, D_\zeta^{(1)} W I_\tau = 0, \quad (26)$$

برای تکیه‌گاه ساده،

$$I_\zeta W I_\tau = 0, D_\zeta^{(2)} W I_\tau = 0, \quad (25)$$

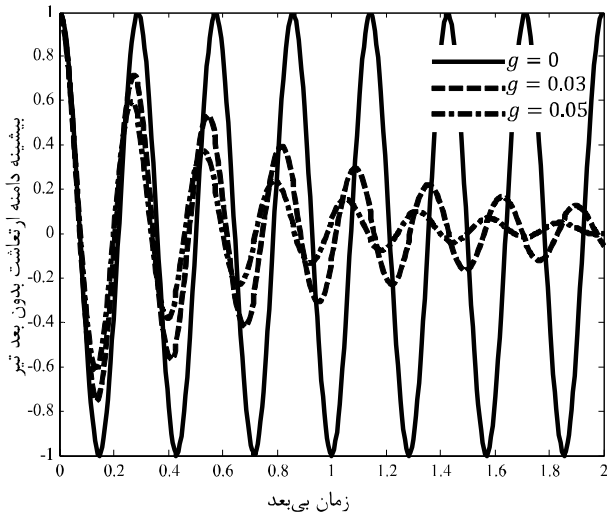
با اعمال معادلات (26) مربوط به شرایط مرزی ($\zeta = 0, 1$) در معادله (25) یک مجموعه معادلات خطی جبری با $n \times (m+1)$ معادله و $n \times (m+1)$ مجهول بدست می‌آیند که به راحتی قابل حل هستند.

همان‌طور که مشاهده می‌شود، روش دوم انواع شرایط مرزی را در بر می‌گیرد در نتیجه جامع‌تر از روش اول است. همچنین همانند روش اول حرکت تیر را محدود به یک یا چند شکل مود اول نمی‌کند، در نتیجه روش اصلی که در این پژوهش از آن برای بدست آوردن نتایج استفاده خواهد شد، روش دوم است و روش اول صرفاً برای اعتبارسنجی و اطمینان از نتایج بدست آمده از روش دوم می‌باشد.

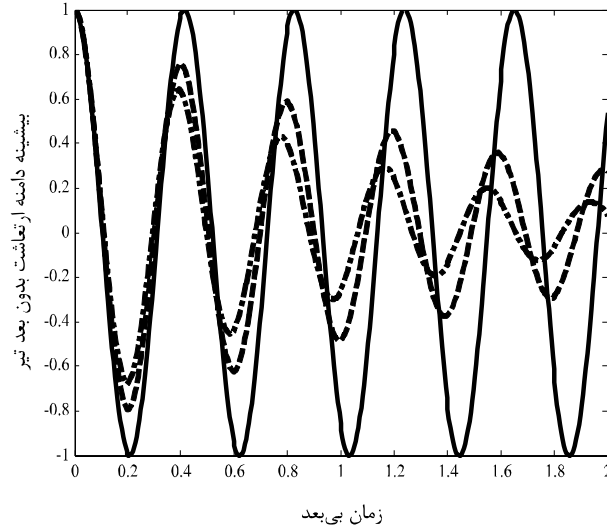
4- نتایج و تفسیر آنها

به‌منظور بررسی عددی مدل معرفی شده و تأثیر پارامترهای مختلف در ارتعاشات تیرهای اویلر- برنولی ویسکوالاستیک کسری، نانولوله کربنی با مدول یانگ یک تراپاسکال، چگالی ۲/۲۴ گرم بر سانتی‌مترمکعب، قطر ۱/۱ نانومتر و ضخامت مؤثر ۰/۳۴۲ نانومتر در نظر گرفته شده است [13]. شکل ۱ شماتی از سیستم مورد بررسی و برخی پارامترهای موجود در مقاله را نشان می‌دهد. در شکل ۲ پاسخ‌های بدست آمده از روش اول و دوم برای تیر با تکیه‌گاه‌های ساده در دو طرف و برای توان‌های کسری متفاوت با هم مقایسه می‌شوند. همان‌طور که مشاهده می‌شود، پاسخ‌ها مخصوصاً پس از طی یک بازه زمانی، مطابقت قابل قبولی با یکدیگر دارند و این می‌تواند نشان‌دهنده دقت پاسخ‌های بدست آمده باشد. در این شکل پارامتر غیرموضعی ۰/۰۵ و ضریب ویسکوالاستیستیته ۰/۰۳ در نظر گرفته شده‌اند. تأثیر توان کسری نیز روی دامنه ارتعاشی تیر کاملاً مشهود است و مشاهده می‌شود که با افزایش این پارامتر بیشینه دامنه سیستم به طرز قابل ملاحظه‌ای کاهش می‌یابد.

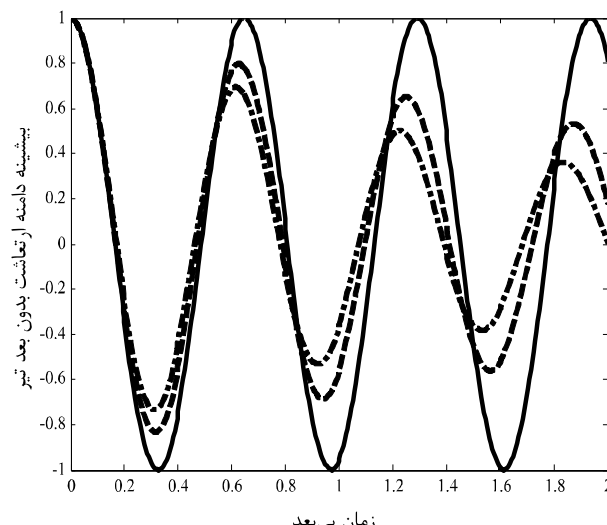
در شکل ۳ تأثیر پارامتر غیرموضعی بر رفتار سیستم تحت شرایط مرزی مختلف مطالعه شده است. در این شکل با ثابت در نظر گرفتن ضریب ویسکوالاستیک ۰/۰۳ و توان کسری ۰/۵ مشاهده می‌شود که با افزایش پارامتر غیرموضعی سیستم با سرعت کمتری میرا می‌شود و در واقع فرکانس سیستم کاهش می‌یابد ولی این پارامتر تأثیر قابل ملاحظه‌ای در مقدار کاهش دامنه در هر دوره زمانی ندارد. در واقع پارامتر موضعی را باید با انتباق داده‌های مدل محیط پیوسته و نتایج تجربی یا شبیه‌سازی دینامیک مولکولی بدست آورد و در اینجا منظور بررسی مقداری اثر پارامتر موضعی بر روی رفتار نانوتیر می‌باشد. با مشاهده نتایج بدست آمده از شبیه‌سازی دینامیک مولکولی [22] نتیجه می‌شود که حضور پارامتر غیرموضعی و افزایش آن باعث افزایش نرمی سیستم و کاهش فرکانس سیستم می‌شود. توجه به معادلات (14) و (16) هم این نتیجه را می‌دهد که پارامتر غیرموضعی باعث کاهش سختی یا افزایش اینرسی سیستم می‌شود.



شکل 4-الف پاسخ زمانی سیستم برای ضرایب ویسکوالاستیک مختلف، گیردار- گیردار

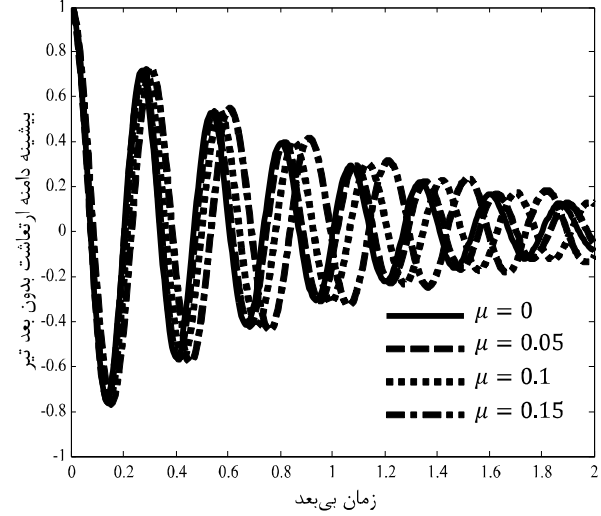


شکل 4-ب پاسخ زمانی سیستم برای ضرایب ویسکوالاستیک مختلف، گیردار- ساده

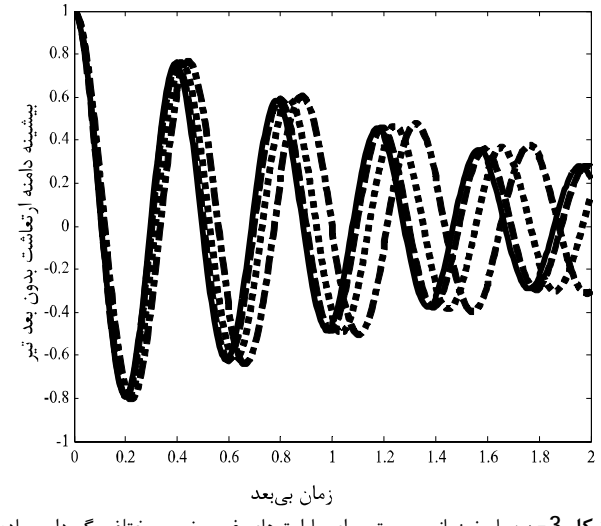


شکل 4-پ پاسخ زمانی سیستم برای ضرایب ویسکوالاستیک مختلف، ساده- ساده

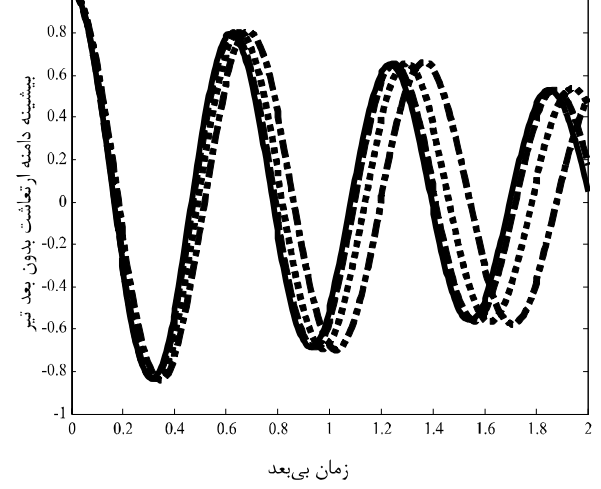
در یکی از روش‌ها از گلرکین برای گستره‌سازی معادلات در حوزه مکان استفاده شده است و معادله حاصل با استفاده از یک روش عددی انگرال گیری مستقیم در نرم‌افزار متلب مدل شده است.



شکل 3-الف پاسخ زمانی سیستم برای پارامترهای غیرموضعی مختلف، گیردار- گیردار



شکل 3-ب پاسخ زمانی سیستم برای پارامترهای غیرموضعی مختلف، گیردار- ساده



شکل 3-پ پاسخ زمانی سیستم برای پارامترهای غیرموضعی مختلف، ساده- ساده

5- نتیجه گیری و جمع بندی

در این پژوهش با ترکیب تئوری‌های غیرموضعی و ویسکوالاستیسیته کسری، و به کارگیری اصل همیلتون، معادله مربوط به ارتعاشات نانوتیر اویلر-برنولی استخراج شده است. این معادله با استفاده از دو روش، در حوزه زمان حل شده‌اند.

بدست آمده است.

در ادامه تأثیر پارامترهای مختلف مانند ضریب ویسکوالاستیک و توان کسری در پاسخ‌های بدست‌آمده بررسی شده است. با مقایسه پاسخ‌ها مشاهده شد که با افزایش پارامتر غیرموضعی سیستم با سرعت کمتری میرا می‌شود و در واقع فرکانس سیستم کاهش می‌یابد، ولی این پارامتر تأثیر قابل ملاحظه‌ای در مقدار کاهش دامنه در هر دوره زمانی ندارد. همچنین با افزایش ضریب ویسکوالاستیک، در عین حال که تیر میرایی پیدا می‌کند، دوره ارتعاشات آن نیز کاهش می‌یابد و در واقع فرکانس سیستم افزایش می‌یابد. در انتها مشاهده شد که با افزایش توان کسری از صفر تا یک میرашوندگی سیستم نیز افزایش می‌یابد و در هر دوره زمانی مقدار بیشتری از دامنه سیستم کاهش می‌یابد.

6- فهرست علایم

| | |
|------------------|--------|
| سطح مقطع تیر | A |
| پارامتر غیرموضعی | $e0a$ |
| طول تیر | L |
| چگالی تیر | ρ |

7- پیوست

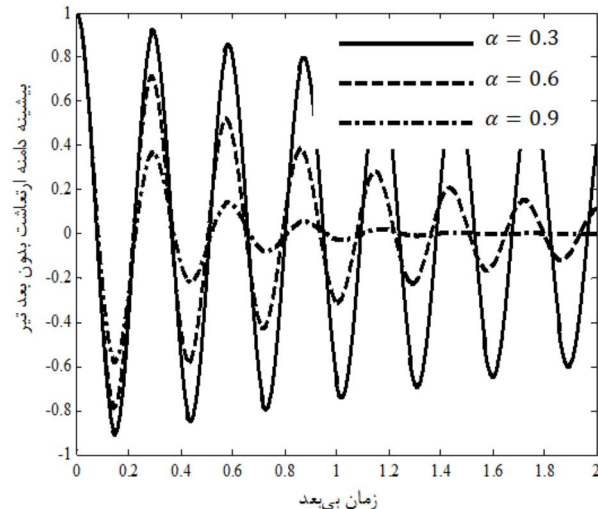
اگر A یک بردار $1 \times n$ و B یک بردار $m \times 1$ باشد ضرب برداری بصورت زیر تعریف می‌شود:

$$A \otimes B = \begin{bmatrix} a_1B \\ a_2B \\ a_3B \\ \vdots \\ a_nB \end{bmatrix}$$

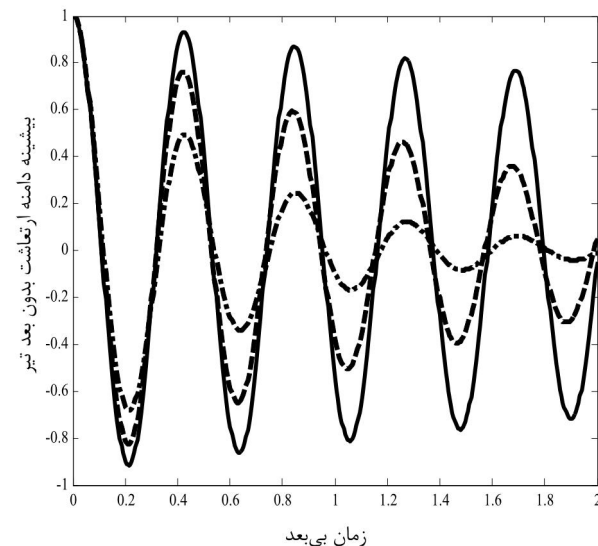
که یک ماتریس $m \times n$ را نتیجه می‌دهد.

8- مراجع

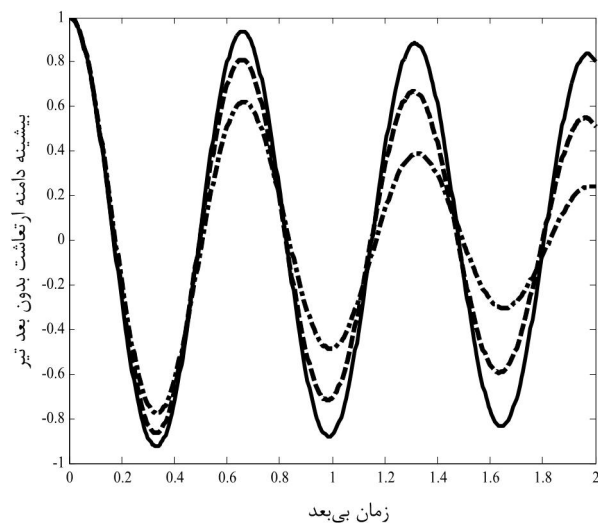
- [1] S. Naguleswaran, Transvers vibrations of an Euler-Bernoulli uniform beam carrying several particles, *International Journal of Mechanical Science*, Vol. 44, No. 12, pp. 2463-2478, 2002.
- [2] S. Xu, X. Wang, Free vibration analysis of Timoshenko beams with free edges by using the discrete singular convolution, *Advances in Engineering Software*, Vol. 42, Issue. 10, pp. 797-806, 2011.
- [3] RM. Christensen, *Theory of Viscoelasticity*, New York: Academic Press, 1982.
- [4] L. B. Eldred, W. P. Baker, and A. N. Palazotto, Kelvin-Voigt vs fractional derivative model as constitutive relations for viscoelastic materials, *AIAA Journal*, Vol. 33(3), pp. 547-550, 1995.
- [5] I. Podlubny, *Fractional differential equations. Mathematics in science and engineering*, Vol. 198, San Diego: Academic Press, 1999.
- [6] T. Usuki, T. Suzuki, Dispersion curves for a viscoelastic Timoshenko beam with fractional derivatives, *Journal of Sound and Vibration* 331, pp. 605-621, 2012.
- [7] S. Sorrentino, A. Fasana, Finite element analysis of vibrating linear systems with fractional derivative viscoelastic models, *Journal of Sound and Vibration* 229, pp. 839-853.
- [8] L. Q. Chen, W. J. Zhao, J. W. Zu, Transient responses of an axially accelerating viscoelastic string constituted by a fractional differentiation law, *Journal of Sound and Vibration*, Vol. 278, pp. 861-871, 2004.
- [9] F. Zhao, M. Wang, Vibration analysis of an axially moving viscoelastic beam, *Applied Mechanics and Materials*, Vols. 268-270, pp. 1177-1181, 2013.
- [10] Q. Yan, Z. Su, Free vibration of elastic Timoshenko beam on fractional derivative Winkler viscoelastic foundation, *Advanced Materials Research*, Vols. 368-373, pp. 1034-1037, 2012.
- [11] M. Habibnejad Korayem, A. M. Shafei, M. Doosthoseini, B. Kadkhodaei, Dynamic modeling of visco-elastic robotic manipulators using Timoshenko beam theory, *Modares Mechanical Engineering*, Vol. 14, No. 1, pp. 131-139, 2013. (In Persian)
- [12] E. Ghavanloo, S. Ahmad Fazelzadeh, Flow-thermoelastic vibration and instability analysis of viscoelastic carbon nanotubes embeded in viscousfluid, *Physica E*, Vol. 44, pp. 17-24, 2011.



شکل 5- а) پاسخ زمانی سیستم برای توان‌های کسری مختلف، گیردار - گیردار



شکل 5- б) پاسخ زمانی سیستم برای توان‌های کسری مختلف، گیردار - ساده



شکل 5- в) پاسخ زمانی سیستم برای توان‌های کسری مختلف، ساده - ساده

در روش دیگر معادله حاکم بر سیستم با استفاده از روش تربیع دیفرانسیل تعیین یافته در حوزه مکان و روش تفاضلات محدود در حوزه زمان گسته شده است و پاسخ زمانی تیر ویسکوالاستیک کسری تحت شرایط مرزی مختلف

- [19] R. Bellman, Differential quadrature: A technique for rapid solution of nonlinear partial differential equations, *Journal of Computational Physics*, Vol. 10, No. 1, pp. 40-52, 1972.
- [20] L. Fawang, M. M. Meerschaert, R. J. McGough, ZH. Pinghu, L. Qingxia, Numerical methods for solving the multi-term time-fractional wave-diffusion equation, *Journal of Fractional Calculus and Applied analysis*. Vol. 16, No 1, pp. 9-25, 2013.
- [21] Zh. Pinghui and L. Fawang, Finite difference approximation for two-dimensional time fractional diffusion equation. *Journal of Algorithms & Computational Technology* 1(1), pp. 1-15, 2007.
- [22] R. Ansari, A. Arjangpay, Nanoscale vibration and buckling of single-walled carbon nanotubes using the meshless local Petrov-Galerkin method, *Physica E* 14, pp. 229-269, 2014.
- [13] Y. Lei, S. Adhikari, M.I. Friswell, Vibration of nonlocal Kelvin-Voigt viscoelastic damped Timoshenko beams, *International Journal of Engineering Science* 66-67, pp. 1-13, 2013.
- [14] W.Grzesikiewicz, A. Wakulicz, A. Zbiciak, Non-linear problems of fractional calculus in modeling of mechanical systems, *International Journal of Mechanical Science* 70, pp. 90-98, 2013.
- [15] A. Nayfeh, *Nonlinear oscillations*, New York: John Wiley, 1979.
- [16] [16] M.H. Kahrobaiany, M. Asghari, M. Rahaeifard, M.T. Ahmadian, A nonlinear strain gradient beam formulation, *International Journal of Engineering Science* 49, pp. 1256-1267, 2011.
- [17] TT. Hartley, CF. Lorenzo, HK. Gammel, Chaos in fractional order chua's system, *IEEE Trans CAS-I*, pp. 85-90, 1995.
- [18] A. Charef, H. H. Sun, Y. Y. Tsao, B. Onaral, Fractional system as represented by singularity function, *IEEE Transactions on Automatic Control*, Vol. 37, No. 9, pp. 1465-1470, 1992.